

Theorie und Einsatz von Verbindungseinrichtungen in parallelen Rechnersystemen

Statische Verbindungsnetzwerke

06. Mai 2011

Andy Georgi

INF 1046
Nöthnitzer Straße 46
01187 Dresden

0351 - 463 38783

Verfügbarkeit der Folien

Vorlesungswebseite:

http://tu-dresden.de/die_tu_dresden/zentrale_einrichtungen/zih/lehre/ss2011/tevpr

Agenda

- 1 Einführung
- 2 Vollständige Vermaschung
- 3 Stern
- 4 Ring
- 5 Gitter
- 6 Baum
- 7 Cube
- 8 Literaturverzeichnis

Agenda

- 1 Einführung

Einführung I

- Kommunikation zwischen Knoten über feste Verbindungsleitungen wie in Kapitel 2 beschrieben
- Kosten beschränken sich auf Hardware-Unterstützung in den Knoten und Leitungen
- Beschreibung der topologischen Verbindungsstrukturen mittels *Verbindungsfunktionen*

Einführung II

Verbindungsfunktion

Verfügt ein Knoten A über eine *Verbindungsfunktion* $f(A)$, so werden bei Ausführung dieser Funktion Daten vom Knoten A zu Knoten $f(A) = B$ transferiert.

Einführung III

- Verbindungsfunktionen in SIMD-Systemen:
 - Alle aktiven PEs führen die gleiche Verbindungsfunktion aus
 - Passive PEs senden keine Daten, können allerdings Daten empfangen
 - Datenverlust möglich
- Verbindungsfunktionen in MIMD-Systemen:
 - Befehlsverarbeitung erfolgt unabhängig voneinander
 - I.d.R. Zwischenpufferung der Daten

Agenda

1. Vollständige Vermaschung
2. Vollständige Vermaschung

- Dedizierte Verbindungen von jedem Knoten zu jedem anderen Knoten
- Interne Konflikte ausgeschlossen
- Beschränkung der maximal erzielbaren Kommunikationsleistung erfolgt ausschließlich durch die technische Realisierung

3 Stern

- Master-Slave-Architektur
- Verbindungsaufbau erfolgt über zentralen Knoten (*Master*)
- Effizient bei Multicast-Operationen oder Prozesssynchronisation

4 Ring

- Klassische Ring-Topologie
- Chordaler Ring
- Token-Ring
- Register-Insertion-Ring
- Scalable Coherent Interface

Klassische Ring-Topologie

- Verbindungsfunktionen in einem *bidirektionalen* Ring:

$$ring_+ = (P + 1) \bmod N$$

$$ring_- = (P - 1) \bmod N$$

- Ein *unidirektionaler* Ring implementiert nur eine der beiden Verbindungsfunktionen
- Keine Zugriffsbeschränkungen

Chordaler Ring

- Ziel: Reduzierung des Durchmessers und der mittleren Weglänge
- Umsetzung: Einfügen zusätzlicher Verbindungen, sog. *Chords*
- Die *Chord-Länge* C bezeichnet den Abstand der verbundenen Knoten
- Ein Chordaler Ring nach Arden und Lee [ArL81] enthält stets eine gerade Anzahl von Knoten und vier Verbindungsfunktionen:

$$ring_{+1} = (P + 1) \bmod N$$

$$ring_{-1} = (P - 1) \bmod N$$

$$ring_{+C} = (P + C) \bmod N, \text{ wenn } P \text{ ungerade}$$

$$ring_{-C} = (P - C) \bmod N, \text{ wenn } P \text{ gerade}$$

Token-Ring

- Zugangsregelung mit Hilfe von *Token*
- Ablauf im *IEEE 802.5 Token-Ring-Protokoll* standardisiert:
 - 1 Sender wartet auf *Free-Token*
 - 2 Umwandlung in *Busy-Token*, welches zusammen mit den zu sendenden Daten an den Ring übergeben wird
 - 3 Weiterleitung der Nachricht entsprechend der Verbindungsfunktion
 - 4 Entfernung der Nachricht vom Netz durch den Quellknoten
 - 5 Freigabe des *Tokens* nach der vollständigen Übertragung der Nachricht

Register-Insertion-Ring

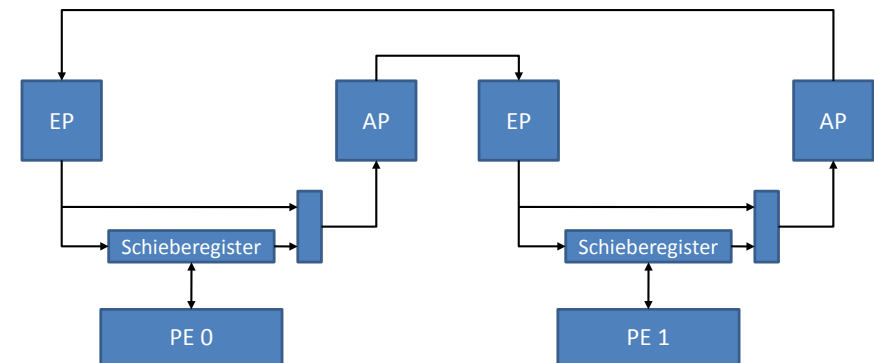


Abbildung: Register-Insertion-Ring mit zwei Knoten

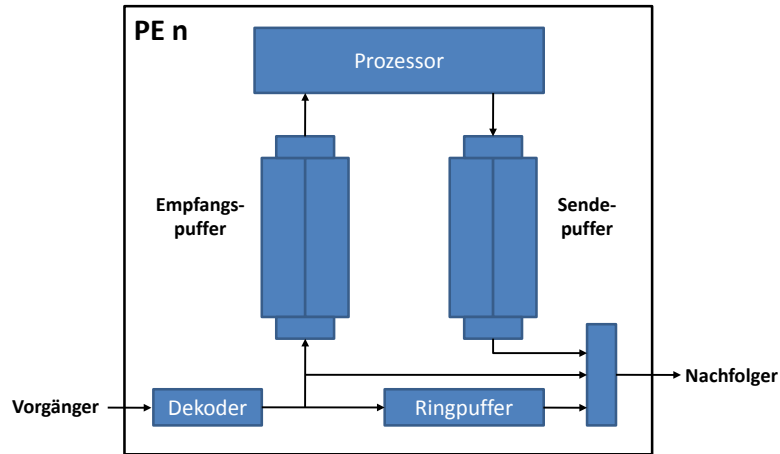


Abbildung: Blockschaltbild eines SCI-Knotens

- 5 Gitter
 - Mesh-Netz
 - Torus
 - Illiac-Netz

Zweidimensionale Gitter

- Verteilung der Knoten auf M_R Reihen und M_S Spalten
- Unterscheidung zwischen *offenem* und *geschlossenem* Gitter
- Befindet sich der betrachtete Knoten in Reihe k auf Spalte j , so ergibt sich sein Index I aus

$$I_H = j + M_S * k \quad \text{bei horizontaler, bzw.}$$
$$I_V = k + M_R * j \quad \text{bei vertikaler Zählrichtung}$$

Mesh-Netz

- Offenes Gitter mit horizontalen und vertikalen Verbindungen der direkten Nachbarn
- Implementiert vier Verbindungsfunktionen:

$$mesh_{right}(I_H) = (j + 1) + M_S * k$$
$$mesh_{left}(I_H) = (j - 1) + M_S * k$$
$$mesh_{down}(I_H) = j + M_S * (k + 1)$$
$$mesh_{up}(I_H) = j + M_S * (k - 1)$$

- Geschlossenes Gitter mit horizontalen und vertikalen Verbindungen zwischen Randknoten einer Reihe bzw. Spalte
- Verbindungsfunktionen:

$$\text{torus}_{\text{right}}(I_H) = ((j + 1) \bmod M_S) + M_S * k$$

$$\text{torus}_{\text{left}}(I_H) = ((j - 1) \bmod M_S) + M_S * k$$

$$\text{torus}_{\text{down}}(I_H) = j + M_S * ((k + 1) \bmod M_R)$$

$$\text{torus}_{\text{up}}(I_H) = j + M_S * ((k - 1) \bmod M_R)$$

- Benannt nach dem Rechner Illiac-IV [BoD72], welcher diese Topologie implementierte
- Geschlossenes Gitter mit folgenden Eigenschaften:
 - Vertikale und horizontale Verbindungen zu den direkten Nachbarn
 - Verbindung der Randknoten einer Spalte
 - Verbindung des Endknotens einer Reihe mit dem Anfangsknoten der nachfolgenden Reihe

- Verbindungsfunktionen:

$$\text{illiac}_{\text{right}}(I_H) = ((j + 1) + M_S * k) \bmod N$$

$$\text{illiac}_{\text{left}}(I_H) = ((j - 1) + M_S * k) \bmod N$$

$$\text{illiac}_{\text{down}}(I_H) = (j + M_S * (k + 1)) \bmod N$$

$$\text{illiac}_{\text{up}}(I_H) = (j + M_S * (k - 1)) \bmod N$$

- 6 Baum
 - Binärbäume
 - k-fache Bäume
 - Ring-erweiterte Bäume
 - Hypertree
 - Fat-Tree

Definition

Aus graphentheoretischer Sicht handelt es sich bei einem Baum um einen ungerichteten zusammenhängenden azyklischen Graphen. Dabei ist dieser durch eine *Wurzel* gekennzeichnet, von der keine, eine oder mehrere *Kanten* ausgehen. Die *Kanten* verbinden die *Wurzel* mit ihren *Kindsknoten*, wobei es sich entweder um *Blätter* - d.h. Knoten ohne weiterführende Kanten - oder rekursiv um *Wurzeln* weiterer Bäume handelt. Die *Tiefe T* eines Baumes entspricht der maximalen Anzahl von Kanten, welche durchlaufen werden müssen, um von der Wurzel zu einem Blatt zu gelangen.

Definition

Die Wurzel eines *Binärbaumes* besitzt stets einen rechten und einen linken Kindsknoten. Dabei handelt es sich entweder um ein Blatt oder die Wurzel eines weiteren Teilbaumes, welcher wiederum einem *Binärbaum* entspricht. Ist zudem die Entfernung von der Wurzel zu allen Blättern identisch, so spricht man von einem *vollständigen Binärbaum*.

- Ein Knoten mit dem *Index I* kann in einem vollständigen Binärbaum folgende Verbindungsfunktionen ausführen:

$$child_{right}(I) = 2I \quad ; \text{ wenn } I \text{ kein Blatt}$$

$$child_{left}(I) = 2I + 1 \quad ; \text{ wenn } I \text{ kein Blatt}$$

$$parent(I) = \lfloor I/2 \rfloor \quad ; \text{ wenn } I \text{ nicht der Wurzel entspricht}$$

- Ziel: Reduzierung des Durchmessers bei gleichbleibender Knotenzahl
- Lösung: Reduzierung der Tiefe
- Umsetzung: Erhöhung der erlaubten Anzahl von Kindern pro Knoten

Ring-erweiterte Bäume

- Erweiterung des Baumes um horizontale Verbindungsleitungen
- Verbindung der Blattebene mit Hilfe einer Ring-Topologie ergibt *vollständig verknüpften Binärbaum* [HoZ81]
- Durch Anwendung der Ring-Erweiterung auf alle Ebenen entsteht ein *Binärbaum mit vollständigen Ringverbindungen* [HoZ81]

Hypertree I

Hamming-Distanz

Als *Hamming-Distanz H* wird die minimale paarweise *Stellendistanz* eines Codes definiert [Ham86]. Die *Stellendistanz $d(x,y)$* bezeichnet dabei die Anzahl der Stellen, in denen sich zwei gleich lange Wörter x und y unterscheiden. Für Wörter unterschiedlicher Länge ist die *Stellendistanz* hingegen nicht definiert.

Hypertree II

- Grundlage bildet ein vollständiger Binärbaum
- Verbindung der Knoten A und B einer Ebene, wenn $H(A, B) = 1$
- Unterscheidung zwischen *Hypertree I* und *Hypertree II* [Goo81]

Beispiel

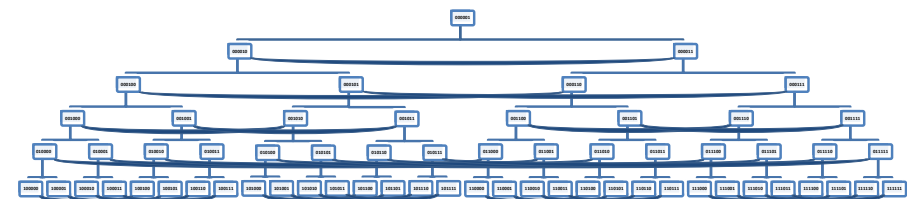


Abbildung: Hypertree mit 63 Knoten verteilt auf sechs Ebenen

- Erhöhung der verfügbaren Datenrate in Richtung der Wurzel [Lei85]
- Beibehaltung des Routingalgorithmus und wesentlicher Eigenschaften der ursprünglichen Baumstruktur

- 7 Cube
 - Klassisches Cube-Netz
 - Twisted Cube-Netz
 - Crossed Cube-Netz
 - Enhanced Hypercube
 - Folded Hypercube
 - Incomplete Hypercubes

Klassisches Cube-Netz I

Hamming-Distanz

Das klassische Cube-Netz besteht aus $N = 2^n$ Knoten, wobei n auch als *Dimension* bezeichnet wird. Zwei Knoten A und B sind jeweils dann miteinander verbunden, wenn $H(A, B) = 1$.

Klassisches Cube-Netz II

- Per Definition verfügt in einem klassischen Cube-Netz jeder Knoten über n Ein- und Ausgänge
- Entsprechend ist auch die Implementierung von n Verbindungsfunktionen notwendig:

$$\text{cube}_k(b_{n-1}b_{n-2}\dots b_k\dots b_1b_0) = b_{n-1}b_{n-2}\dots \bar{b}_k\dots b_1b_0, \text{ mit } 0 \leq k < n$$

Twisted Cube-Netz

- Umstrukturierung vorhandener Verbindungsleitungen zur Reduzierung des Durchmessers
- Vorgehensweise [EsN91]:
 - 1 Auswahl eines Zyklus über vier Knoten $a, b, c, d \in V$ in einem klassischen Cube-Netz
 - 2 Bestimmung zweier Kanten $\{a, b\}, \{c, d\} \in E$ aus diesem Zyklus, welche nicht über einen Knoten miteinander verbunden sind
 - 3 Ersetzung der gewählten Kanten: $\varphi(\{a, b\}, \{c, d\}) = \{a, c\}, \{b, d\}$

Crossed Cube-Netz I

Definition

Als CQ_n wird ein n -dimensionales Crossed Cube-Netz [Efe92] bezeichnet. CQ_1 besteht aus zwei miteinander verbundenen Knoten. Ist $n > 1$ so wird CQ_n aus den beiden Subnetzen CQ_{n-1}^0 und CQ_{n-1}^1 gebildet, indem die Knoten $u = 0u_{n-2} \dots u_0$ und $v = 1v_{n-2} \dots v_0$ mit $u \in CQ_{n-1}^0$ und $v \in CQ_{n-1}^1$ genau dann miteinander verbunden werden wenn gilt:

- 1 $u_{n-2} = v_{n-2}$, falls n gerade ist, und
- 2 $u_{2i+1}u_{2i} \sim v_{2i+1}v_{2i}$, für alle i mit $0 \leq i < \lfloor (n-1)/2 \rfloor$

Crossed Cube-Netz II

Paarweise Verwandtschaft

Zwei binäre Sequenzen $x = x_1x_0$ und $y = y_1y_0$ werden als *paarweise verwandt* bezeichnet, wenn $(x, y) \in \{(00, 00), (10, 10), (01, 11), (11, 01)\}$. Sind x und y paarweise miteinander verwandt so schreibt man $x \sim y$, andernfalls $x \not\sim y$.

Enhanced Hypercube

Definition

In einem *Enhanced Hypercube* [TzW91] der *Ordnung* ω , mit $0 \leq \omega < n - 1$, werden gegenüber der klassischen Cube-Topologie Verbindungsleitungen zwischen allen Knotenpaaren

$$\{(x_{n-1} \dots x_{n-\omega} x_{n-\omega-1} \dots x_i \dots x_0), (x_{n-1} \dots x_{n-\omega} \bar{x}_{n-\omega-1} \dots \bar{x}_i \dots \bar{x}_0)\}$$

hinzugefügt.

- Spezialfall des Enhanced Hypercubes der Ordnung $\omega = 0$ [EIL91]
- Erweiterung um $N/2$ Verbindungsleitungen zwischen Knoten mit der maximalen Hamming-Distanz
- Reduzierung des Durchmessers auf $\lceil n/2 \rceil$

- 8 Literaturverzeichnis

- Erweiterung der bisher vorgestellten Cube-Topologien um eine Dimension erfordert eine Verdopplung der Knotenzahl
- *Incomplete Hypercubes* lassen eine beliebige Knotenzahl zu
- Eingrenzung auf Netze, welche aus zwei vollständigen Cube-Netzen unterschiedlicher Größe 2^n und 2^k bestehen [TzC92]

-  [IE1596] David B. Gustavson, Qiang Li
The Scalable Coherent Interface (SCI), Santa Clara University 1996.
http://userweb.cs.utexas.edu/users/dburger/teaching/cs395t-s08/papers/9_sci.pdf
-  [ArL81] B. W. Arden, H. Lee
Analysis of chordal ring networks, Apr 1981.
IEEE Transactions on Computers, Band C-30, Nr. 4, S. 291-295
-  [Dot84] K. W. Doty
New designs for dense processor interconnection networks, May 1984.
IEEE Transactions on Computers, Band C-33, Nr. 5, S. 447-450
-  [BoD72] W. J. Bouknight, S. A. Denenberg, D.E. McIntyre, J. M. Rundall, A. H. Sameh, D.L. Slotnick
The Illiac IV system, Apr 1972.
Proceedings of the IEEE, Band 60, Nr. 4, S. 369-388

Literaturverzeichnis II

-  [HoZ81] E. Horowitz, A. Zorat
The binary tree as an interconnection network: Applications to multiprocessor system and VLSI, Apr 1981
IEEE Transactions on Computers, Band C-30, Nr. 4, S. 247-253
-  [Ham86] R. W. Hamming
Coding and Information Theory, Jan 1986
Prentice Hall, ISBN-13: 978-0131390720
-  [Goo81] J. R. Goodman, C. H. Sequin
Hypertree – A multiprocessor interconnection topology, Apr 1981
Computer Sciences Technical Report #427
-  [Lei85] C. E. Leiserson
Fat-Trees: Universal networks for hardware-efficient supercomputing, Oct 1985
IEEE Transactions on Computers, Band C-34, Nr. 10, S. 892-901

Literaturverzeichnis III

-  [EsN91] A.-H. Esfahanian, L. M. Ni, B. E. Sagan
The twisted N-cube with application to multiprocessing, Jan 1991
IEEE Transactions on Computers, Band C-40, Nr. 1, S. 88-93
-  [Efe92] K. Efe
The crossed cube architecture for parallel computation, Sep 1992
IEEE Transactions on Parallel and Distributed Systems, Band 3, Nr. 5,
S. 513-524
-  [TzW91] N.-F. Tzeng, S. Wei
Enhanced Hypercubes, Mar 1991
IEEE Transactions on Computers, Band C-40, Nr. 3, S. 284-294
-  [EIL91] A. El-Amawy, S. Latifi
Properties and performance of folded hypercubes, Jan 1991
IEEE Transactions on Parallel and Distributed Systems, Band 2, Nr. 1,
S. 31-42

Literaturverzeichnis IV

-  [Kat88] H. P. Katseff
Incomplete hypercubes, May 1988
IEEE Transactions on Computers, Band C-37, Nr. 5, S. 604-608
-  [TzC92] N.-F. Tzeng, H.-L. Chen
An effective approach to the enhancement of incomplete hypercube
computers, Feb 1992
Journal of Parallel and Distributed Computing, Band 14, Nr. 2, S.
163-174